

УДК 677.052.095

О ВОЗМОЖНОСТИ ЗАМЕНЫ ТРЕНИЯ СКОЛЬЖЕНИЯ В ПАРЕ БЕГУНОК–КОЛЬЦО НА ТРЕНИЕ КАЧЕНИЯ

Г.К. КУЗНЕЦОВ, В.В. КУРКОВ, С.Н. ТИТОВ

(Костромской государственный технологический университет)

В настоящее время не оспаривается то, что в кольцевом прядении достигнут скоростной предел [1], [2]. Основными препятствиями для повышения скорости являются увеличение натяжения и рывки пряжи, приводящие к недопустимой обрывности, нежелательный перегрев трущихся деталей, износ бегунка и кольца [3].

Считается, что все перечисленные препятствия являются производными трения скольжения в паре кольцо – бегунок. Имеются немногочисленные предложения замены трения скольжения в этой паре на трение качения [4], [5]. К сожалению, все попытки осуществить такую замену пока были неудачными. В данной статье описываются предложения таких схем, которые, с нашей точки зрения, могут получить перспективы для использования в практике [6] (автор предложений [7] – В.В. Курков).

Напомним схему классического анализа узла нить – бегунок – кольцо [3], [8]. На основе этой методики рассматриваются все предлагаемые варианты бегунков, проводятся их силовой анализ и сравнение с классическим способом.

В общепринятой схеме бегунок рассматривается как материальная точка, находящаяся под действием центробежной силы C , натяжения пряжи T и P , реакций кольца R_x и R_z (рис. 1). Кроме того, действует сила сопротивления движению бегунка F , которая является силой трения скольжения бегунка по кольцу: $F = f(R_x + R_z)$.

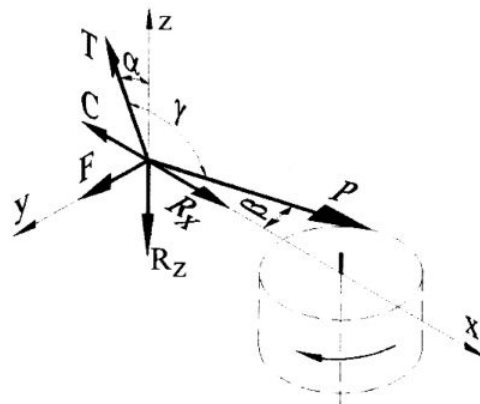


Рис. 1

Силы натяжения пряжи T и P связаны друг с другом на основании уравнения Эйлера: $P = Te^{\mu\gamma}$. Здесь и далее f – коэффициент трения скольжения бегунка по кольцу, μ – коэффициент трения скольжения нити о бегунок.

При допущениях, принятых в [3] и [8], составляются уравнения динамического равновесия бегунка для стационарного движения в проекциях на оси (правой или левой, в зависимости от направления вращения веретена) Декартовой системы координат (рис. 1):

$$\begin{aligned}\sum X &= P \cos \beta + R_x - C - T \sin \alpha = 0, \\ \sum Y &= F - P \sin \beta = 0, \\ \sum Z &= T \cos \alpha - R_z = 0.\end{aligned}$$

При решении этих уравнений совместно с равенством для силы трения и формулой Эйлера получается выражение для усилия наматывания:

$$P = \frac{C}{\frac{\sin \beta}{f} + \cos \beta - \frac{\sin \alpha + \cos \alpha}{e^{\mu y}}}.$$

Сила сопротивления движению бегунка F определяется как через реакции кольца $F = f(R_x + R_z)$, так и из выражения суммы проекций на ось y : $F = P \sin \beta$.

Рассмотрим три варианта бегунков, катящихся по кольцу (рис. 2 – 1-го варианта; рис. 3 – 2-го; рис. 4 – 3-го). Анализ механики узла проводим аналогично вышеуказанному. Для каждого варианта определяем силу сопротивления движению бегунка, которую затем подставляем в уравнения его движения и снова определяем усилие наматывания. Для 3-го варианта вместо бегунка в качестве материальной точки принимаем элемент нити, движущийся по кольцу.

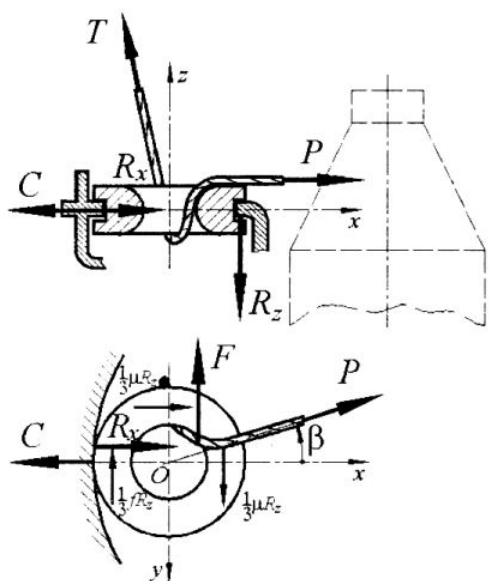


Рис. 2

Вариант 1 (рис. 2). Бегунок представляет собой кольцо прямоугольного сечения со скругленными кромками и пазом, в который входят направляющие выступы наружного и внутреннего колец. Сила, движущая бегунок, действует со стороны нити, проходящей через отверстие бегунка. Она равна и противоположно направлена силе сопротивления движению бегунка F . Величина этой силы определяется из равновесия моментов, действующих на катящийся по кольцу бегунок.

В качестве сопротивлений движению бегунка выступают момент от трения качения kR_x , момент от силы трения бегунка о кольцо $\frac{1}{3}fR_z b$ и два момента от сил трения нити о бегунок $\frac{2}{3}\mu R_z b$. Здесь и далее a и b – плечи действия сил трения; k – коэффициент трения качения.

Полагая, что сила реакции R_z , вызывающая трение, распределяется по трем площадкам контакта на равные составляющие $\frac{1}{3}R_z$, запишем уравнение моментов, действующих на бегунок:

$$\sum M_0 = R_x k + \frac{1}{3}fR_z b + \frac{2}{3}\mu R_z b - Fa = 0,$$

решив которое относительно силы сопротивления F , получим

$$F = \frac{R_x k + \frac{1}{3}fR_z b + \frac{2}{3}\mu R_z b}{a}.$$

Подставив решение в систему уравнений равновесия бегунка, получим выражение для усилия наматывания:

$$P = \frac{C}{\frac{a \sin \beta + \cos \beta}{k} - \frac{1}{e^{\mu y}} \left[\sin \alpha + \frac{(f + 2\mu)b \cos \alpha}{3k} \right]}.$$

Подробности конструкции узла описаны в авторских свидетельствах. Плечи действия сил на бегунок приняты приближенно.

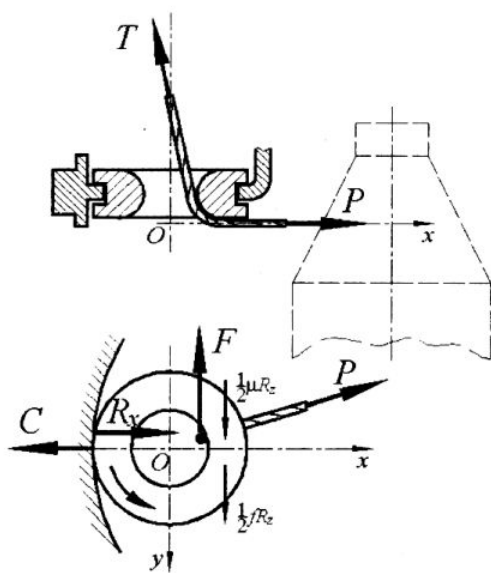


Рис. 3

Вариант 2 (рис. 3). В этом случае крепление внутреннего кольца на колпаке позволяет до минимума снизить угол охвата бегунка нитью. В остальном конструкция аналогична первому варианту.

Рассматривая движение бегунка, в качестве сопротивлений будем иметь момент трения качения $R_x k$, момент трения бегунка о кольцо $\frac{1}{2}fR_z b$ и момент трения нити о бегунок $\frac{1}{2}\mu R_z b$.

Здесь реакция R_z раскладывается на две равные составляющие в соответствии с количеством площадок трения скольжения. Тогда сумма моментов, действующих на бегунок, будет

$$\sum M_0 = R_x k + \frac{1}{2}fR_z b + \frac{1}{2}\mu R_z b - Fa = 0.$$

Величина силы сопротивления:

$$F = \frac{R_x k + \frac{1}{2}fR_z b + \frac{1}{2}\mu R_z b}{a}.$$

После подстановки в уравнения равновесия бегунка получим

$$P = \frac{C}{\frac{a}{k} \sin \beta + \cos \beta - \frac{1}{e^{\mu \gamma}} \left[\sin \alpha + \frac{(f + \mu)b \cos \alpha}{2k} \right]}.$$

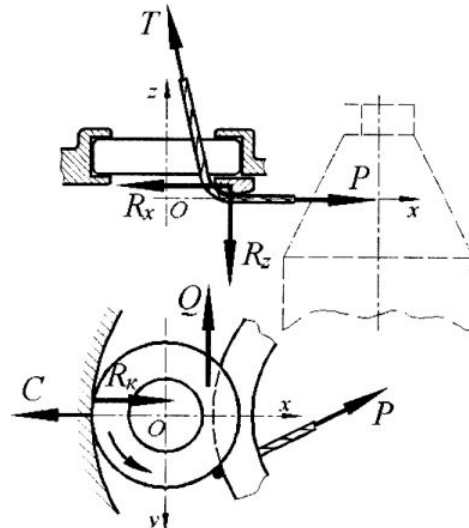


Рис. 4

Вариант 3 (рис. 4). Здесь бегунок, не обязательно имеющий отверстие, движется за счет действия нити на его наружную поверхность. В этом случае в равновесии рассматривается не бегунок, а элемент нити на кольце, массой которого можно пренебречь.

В уравнение равновесия не входит сила инерции, но входят сопротивление трения нити о кольцо F и сила сопротивления движению бегунка Q :

$$\begin{aligned} \sum X &= P \cos \beta - R_x - T \sin \alpha = 0, \\ \sum Y &= F - P \sin \beta + Q = 0, \\ \sum Z &= T \cos \alpha - R_z = 0. \end{aligned}$$

Сила трения нити о кольцо равна

$$F = \mu(R_x + R_z).$$

Сила сопротивления движению бегунка (пренебрегая трением скольжения о кольцо) будет равна (рис. 4):

$$Q = C \frac{k}{a}$$

Тогда для усилия наматывания получаем

$$P = \frac{Ck}{a \left[\sin \beta - \mu \cos \beta + \frac{\mu}{e^{\mu y}} (\sin \alpha - \cos \alpha) \right]}$$

Сравнение полученных результатов по усилию наматывания и силе сопротивления дано в табл. 1 (для углов β 30° и 60°).

Таблица 1

Вариант	Усилие наматывания P и сила сопротивления F в долях центробежной силы бегунка C для угла β :			
	30°		60°	
	P	F	P	F
Классический	0,195C	0,0975C	0,118C	0,102C
1	0,04C	0,02C	0,015C	0,013C
2	0,029C	0,014C	0,012C	0,0105C
3	0,021C	0,0105C	0,011C	0,0095C

Сравнительные испытания, проведенные независимо на фабрике "Красный суконщик" и в ОАО "ЦНИИШерсти", показали, что в предлагаемых узлах практически отсутствует износ бегунка и кольца; не возникает высоких температур и рывков, что в несколько раз увеличивает срок службы катящегося бегунка по сравнению с классическим скользящим.

Срок службы бегунка оценивался по моменту необходимости его замены из-за резкого роста обрывности, обусловленной износом. Следует отметить, что критического роста обрывности у нового бегунка на данном этапе испытаний достигнуто не было.

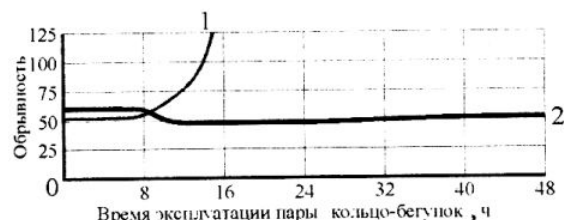


Рис. 5

Результаты испытаний представлены на рис. 5 в форме зависимости обрывности (в пересчете на количество обрывов на

1000 веретен/ч) от времени эксплуатации; кривая 1 – классическая пара кольцо – бегунок; 2 – пара с катящимся бегунком (вариант 3).

Показатели качества пряжи, выработанной на классическом и новом узлах, сведены в табл. 2.

Таблица 2

Наименование показателя	Показатели качества пряжи, полученной на	
	классическом узле	новом узле
Линейная плотность, текс	12,5	12,45
Коэффициент вариации по линейной плотности, %	1,12	1,12
Разрывная нагрузка, сН	770	780
Коэффициент вариации по разрывной нагрузке, %	9,2	9,4
Разрывное удлинение, %	21,3	21,4
Коэффициент вариации по разрывному удлинению, %	10,7	10,7

При испытаниях замечено, что для достижения равных плотностей початка требуется снижение массы нового бегунка по сравнению с классическим на 10...15 %.

В И В О Д Ы

1. Теоретические исследования и производственные испытания показывают, что предложенные схемы катящегося бегунка имеют право на существование.

2. Для возможности широкого применения предложений необходимы серьезные испытания узлов и их глубокая конструкторская проработка.

Л И Т Е Р А Т У Р А

1. Корякин Л.Б., Гинзбург Л.Н. Прядение льна и химических волокон: Справочник. – М.: Легпромбытиздан, 1991.

2. Прядение хлопка и химических волокон // И.Г. Борзунов, К.И. Бадалов и др. – М.: Легпромбытиздан, 1986.

3. Севостьянов А.Г., Севостьянов П.А. Моделирование технологических процессов. – М.: Легкая и пищевая промышленность, 1984.

4. Патент Германии № 436164, нац. кл. 76с, 6/0, 1926.

5. Патент США № 3866404, МКИ D 01, h 7152–62, 1974.

6. Курков В.В., Лабок В.Г. // Текстильная промышленность. – 2000, № 3, С.45...46.

7. Патент СССР № 1804505, МКИ D 01, h 7152–62, 1991.

8. Каган В.М. Взаимодействие нити с рабочими органами текстильных машин. – М.: Легкая и пищевая промышленность, 1984.

Рекомендована кафедрой теории механизмов и машин и проектирования текстильных машин. Поступила 30.09.03
